

自控原理习题解答第五章

侯一凡

yfhou@xidian.edu.cn

《自动控制原理》

2014

已知单位反馈系统的开环传函为: $G(s) = \frac{10}{s+1}$, 则有:

$$\Phi(s) = \frac{C(s)}{R(s)} = \frac{10}{s+11}$$

系统的频率特性为:

$$|\Phi(j\omega)| = \frac{10}{\sqrt{\omega^2 + 121}}$$

$$\angle\Phi(j\omega) = -\arctan \frac{\omega}{11}$$

$$(1) r(t) = \sin(t + 30^\circ);$$

$$\Rightarrow c(t) = |\Phi(j\omega)| \sin(t + 30^\circ + \angle\Phi(j\omega)) = 0.91 \sin(t + 24.8^\circ).$$

$$(2) r(t) = 2 \cos(2t - 45^\circ);$$

$$\Rightarrow c(t) = 2|\Phi(j\omega)| \cos(2t - 45^\circ + \angle\Phi(j\omega)) = 1.78 \cos(2t - 55.3^\circ).$$

$$(3) r(t) = \sin(t + 30^\circ) - 2 \cos(2t - 45^\circ);$$

$$\Rightarrow c(t) = 0.91 \sin(t + 24.8^\circ) - 1.78 \cos(2t - 55.3^\circ).$$

已知系统传递函数 $G(s) = \frac{K}{Ts+1}$, 则其频率特性为:

$$G(j\omega) = \frac{K}{jT\omega + 1}$$

幅频特性:

$$A(\omega) = |G(j\omega)| = \frac{K}{\sqrt{T^2\omega^2 + 1}}$$

相频特性:

$$\phi(\omega) = \angle G(j\omega) = -\arctan T\omega$$

当 $\omega = 1$, $A = 12/\sqrt{2}$, $\phi = -45^\circ$. 则有:

$$\frac{K}{\sqrt{T^2 + 1}} = 12/\sqrt{2}$$

$$-\arctan T = -45^\circ$$

求解得: $T = 1$, $K = 12$.

已知系统的开环传递函数

$$G(s) = \frac{\omega_n^2}{s(s + 2\xi\omega_n)}$$

则系统的闭环传递函数:

$$\Phi(s) = \frac{C(s)}{R(s)} = \frac{\omega_n^2}{s^2 + 2\xi\omega_n s + \omega_n^2}$$

系统的频率特性为:

$$|\Phi(j\omega)| = \frac{\omega_n^2}{\sqrt{(\omega_n^2 - \omega^2)^2 + (2\xi\omega_n\omega)^2}}$$

$$\angle\Phi(j\omega) = -\arctan \frac{2\xi\omega_n\omega}{\omega_n^2 - \omega^2}$$

当 $r(t) = 2\sin t$, 则 $c(t) = 2\sin(t - 45^\circ)$, $\omega = 1$, $|\Phi(j\omega)| = 1$, $\angle\Phi(j\omega) = -45^\circ$.

$$\frac{\omega_n^2}{\sqrt{(\omega_n^2 - 1)^2 + (2\xi\omega_n)^2}} = 1$$

$$\frac{2\xi\omega_n}{\omega_n^2 - 1} = 1$$

求解得: $\omega_n = 1.848$, $\xi = 0.653$.

第五章 5-5-1

(1) 开环传函: $G(s)H(s) = \frac{1}{(1+s)(1+2s)}$,

传递函数的积分环节个数为0, 起点在实实轴;

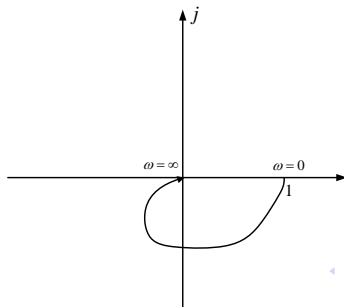
$n - m = 2$, 终点为 π 方向趋向于原点。

$$G(j\omega)H(j\omega) = \frac{1}{(1+j\omega)(1+j2\omega)} = \frac{1}{(1-2\omega^2) + j3\omega}$$

与实轴交点: 令 $3\omega = 0$, 即虚部为0 (起始点), $G(j\omega)H(j\omega) |_{\omega=0} = 1$;

与虚轴交点: 令 $1 - 2\omega^2 = 0$ 得 $\omega = \frac{\sqrt{2}}{2}$, $G(j\omega)H(j\omega) |_{\omega=\frac{\sqrt{2}}{2}} = -\frac{\sqrt{3}}{3}j$

幅相特性图如下:



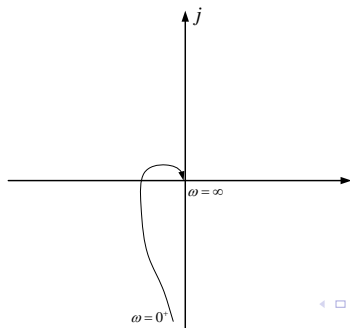
(2) 开环传函: $G(s)H(s) = \frac{1}{s(1+s)(1+2s)}$,

传递函数的积分环节个数为1, 起点相角是 $-\frac{\pi}{2}$, 幅值为无穷大;
 $n - m = 3$, 终点为 $-\frac{3}{2}\pi$ 方向趋向于原点。

$$G(j\omega)H(j\omega) = \frac{1}{j\omega(1+j\omega)(1+j2\omega)} = \frac{1}{-3\omega^2 + j(\omega - 2\omega^3)}$$

与虚轴交点: 令 $\omega - 2\omega^3 = 0$, 得 $\omega = \frac{\sqrt{2}}{2}$, $G(j\omega)H(j\omega) \big|_{\omega=\frac{\sqrt{2}}{2}} = -\frac{2\sqrt{2}}{3}j$

幅相特性图如下:



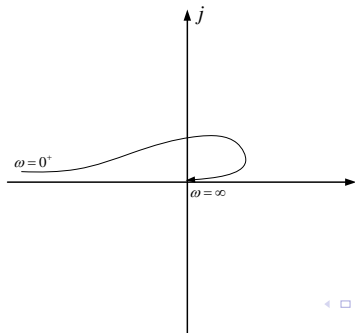
(3) 开环传函: $G(s)H(s) = \frac{1}{s^2(1+s)(1+2s)}$,

传递函数的积分环节个数为2, 起点相角是 $-\pi$, 幅值为无穷大;
 $n - m = 4$, 终点为 -2π 方向趋向于原点。

$$G(j\omega)H(j\omega) = \frac{1}{-\omega^2(1+j\omega)(1+j2\omega)} = \frac{1}{-3\omega^3j + (2\omega^4 - \omega^2)}$$

与实轴交点: 令 $2\omega^4 - \omega^2 = 0$, 得 $\omega = \frac{\sqrt{2}}{2}$, $G(j\omega)H(j\omega) \big|_{\omega=\frac{\sqrt{2}}{2}} = -\frac{2}{3}$

幅相特性图如下:



(1) 开环传函: $G(s)H(s) = \frac{100}{(s+2)(s+5)} = \frac{10}{(0.5s+1)(0.2s+1)}$, 系统由比例、两个惯性环节构成。

1) 确定各惯性环节转折频率及对应斜率分别为:

$$\omega_1 = 2, -20\text{dB/dec};$$

$$\omega_2 = 5, -20\text{dB/dec}$$

2) 绘制最低频段($\omega < 2$)渐近线, 渐近线斜率0, 则渐近线方程为:

$$L(\omega) = 20 \lg 10 = 20\text{dB}.$$

3) $2 \leq \omega < 5$, 一个惯性环节作用, 渐近线斜率为-20 dB/dec, 则渐近线方程为: $L(\omega) = 20 \lg 10 - 20 \lg 0.5\omega$.

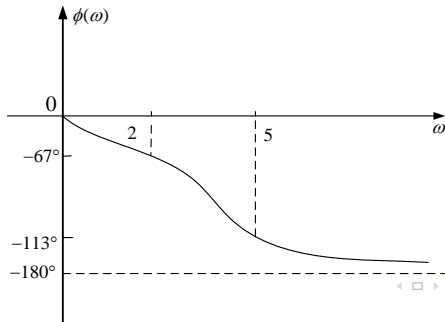
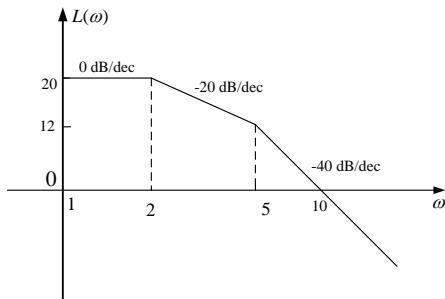
$$\text{当 } \omega = 5, L(\omega) = 12\text{dB}.$$

4) $\omega \geq 5$, 另一个惯性环节作用, 渐近线斜率为-40 dB/dec, 则渐近线方程为: $20 \lg |G| = 20 \lg 10 - 20 \lg 0.5\omega - 20 \lg 0.2\omega$

截止频率 ω_c :

$$L(\omega) = 20 \lg 10 - 20 \lg 0.5\omega_c - 20 \lg 0.2\omega_c = 0 \Rightarrow \omega_c = 10\text{rad/s}.$$

第五章 5-6-1续



(2) 开环传函: $G(s)H(s) = \frac{100}{s(s^2+s+1)(6s+1)}$,
系统由比例、积分、惯性和振荡环节构成。

1) 确定各转折频率及对应斜率为:

$$\omega_1 = 0.17, -20\text{dB/dec}; \quad \omega_2 = 1, -40\text{dB/dec}.$$

2) 绘制最低频段($\omega < 0.17$)渐近线, 渐近线斜率-20 dB/dec, 则渐近线方程为: $L(\omega) = 20 \lg 100 - 20 \lg \omega$

$$\text{当 } \omega = 0.1, \quad L(\omega) = 60\text{dB}.$$

$$\text{当 } \omega = 0.17, \quad L(\omega) = 55\text{dB}.$$

3) $0.17 \leq \omega < 1$, 惯性环节作用, 渐近线斜率为-40 dB/dec, 则渐近线方程为: $L(\omega) = 20 \lg 100 - 20 \lg \omega - 20 \lg 6\omega$.

$$\text{当 } \omega = 1, \quad L(\omega) = 24.4\text{dB}.$$

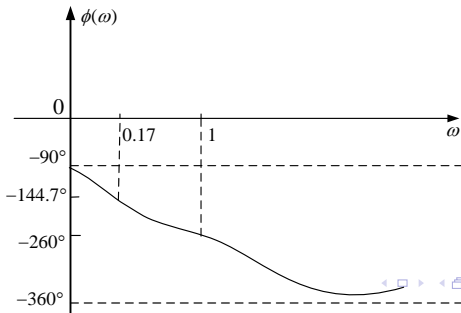
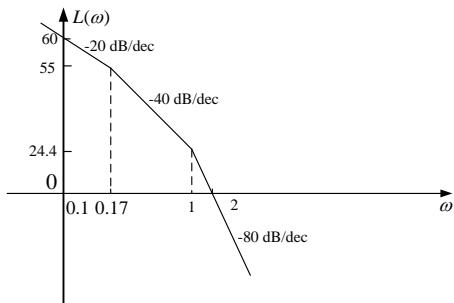
4) $\omega \geq 1$, 振荡环节作用, 渐近线斜率为-80 dB/dec, 渐近线方程为:

$$L(\omega) = 20 \lg 100 - 20 \lg \omega - 20 \lg 6\omega - 40 \lg \omega$$

截止频率 ω_c :

$$L(\omega) = 20 \lg 100 - 20 \lg \omega_c - 20 \lg 6\omega_c - 40 \lg \omega_c = 0 \Rightarrow \omega_c = 2\text{rad/s}.$$

第五章 5-6-2续



(3) 开环传函: $G(s)H(s) = \frac{10}{s^2(s+10)(0.25s^2+0.4s+1)} = \frac{1}{s^2(0.1s+1)(0.25s^2+0.4s+1)}$,
系统由比例、两个积分、惯性和振荡环节构成。

1) 确定各转折频率及对应斜率为:

$$\omega_1 = 2, -40\text{dB/dec};$$

$$\omega_2 = 10, -20\text{dB/dec}$$

2) 绘制最低频段($\omega < 2$)渐近线, 系统有两个积分环节, 则渐近线斜率-40 dB/dec, 渐近线方程为: $L(\omega) = 20 \lg 1 - 40 \lg \omega$

$$\text{当 } \omega = 2, L(\omega) = -12\text{dB}.$$

3) $2 \leq \omega < 10$, 振荡环节作用, 渐近线斜率为-80 dB/dec, 则渐近线方程为: $L(\omega) = 20 \lg 1 - 40 \lg \omega - 40 \lg 0.5\omega$.

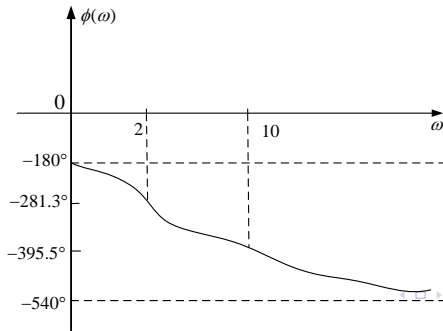
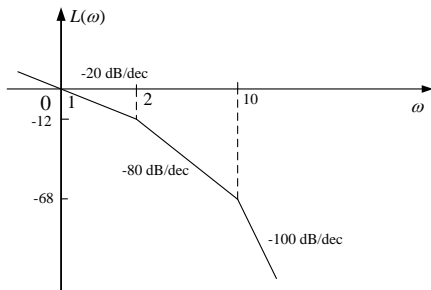
$$\text{当 } \omega = 10, L(\omega) = -68\text{dB}.$$

4) $\omega \geq 10$, 惯性环节作用, 渐近线斜率为-100 dB/dec, 则渐近线方程为: $L(\omega) = 20 \lg 1 - 40 \lg \omega - 40 \lg 0.5\omega - 20 \lg 0.1\omega$

系统在最低频段穿越0dB线, 则截止频率 ω_c :

$$L(\omega) = 20 \lg 1 - 40 \lg \omega = 0 \Rightarrow \omega_c = 1\text{rad/s}.$$

第五章 5-6-3续



第五章 5-6-4

(4) 开环传函: $G(s)H(s) = \frac{0.2s+1}{s(2s+1)(10s+1)}$,

系统由积分、一阶微分、两个惯性环节构成。

1) 确定各转折频率及对应斜率为:

$\omega_1 = 0.1$, -20dB/dec ; $\omega_2 = 0.5$, -20dB/dec ; $\omega_3 = 5$, 20dB/dec

2) 绘制最低频段($\omega < 0.1$)渐近线, 系统有积分环节, 则渐近线斜率 -20dB/dec , 渐近线方程为: $L(\omega) = -20\lg\omega$

当 $\omega = 0.01$, $L(\omega) = 40\text{dB}$; 当 $\omega = 0.1$, $L(\omega) = 20\text{dB}$.

3) $0.1 \leq \omega < 0.5$, 惯性环节作用, 渐近线斜率为 -40dB/dec , 则渐近线方程为: $L(\omega) = -20\lg\omega - 20\lg 10\omega$.

当 $\omega = 0.5$, $L(\omega) = -8\text{dB}$.

4) $0.5 \leq \omega < 5$, 惯性环节作用, 渐近线斜率为 -60dB/dec , 则渐近线方程为: $L(\omega) = -20\lg\omega - 20\lg 10\omega - 20\lg 2\omega$

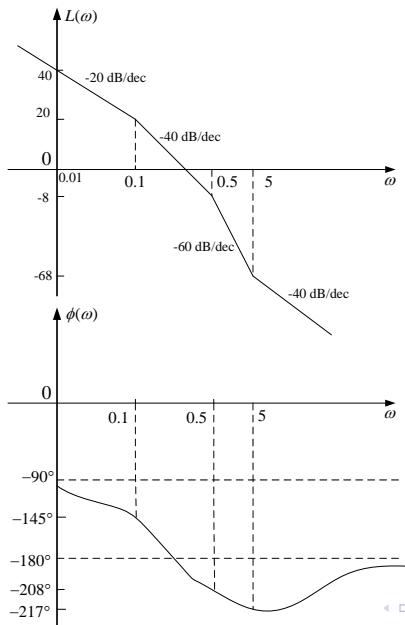
当 $\omega = 5$, $L(\omega) = -68\text{dB}$.

5) $\omega \geq 5$, 一阶微分环节作用, 渐近线斜率为 -40dB/dec , 则渐近线方程为: $L(\omega) = -20\lg\omega - 20\lg 10\omega - 20\lg 2\omega + 20\lg 0.2\omega$.

系统在 $0.1 \leq \omega < 0.5$ 频段穿越 0dB 线, 则截止频率 ω_c :

$L(\omega) = -20\lg\omega_c - 20\lg 10\omega_c = 0 \Rightarrow \omega_c = 0.32\text{rad/s}$.

第五章 5-6-4续



(a) 从图(a)得知系统含有比例、惯性环节,

则系统开环传函为: $G(s) = \frac{K}{Ts+1}$.

1) 当 $\omega < 10$, 直线斜率为0, 系统仅有放大环节作用,

即 $L(\omega) = 20 \lg K = 20$, 则 $K = 10$.

2) 当 $\omega = 10$, 渐近线斜率为-20, 则惯性环节作用, 即 $T = \frac{1}{\omega} = 0.1$.

图(a)系统开环传函为:

$$G(s) = \frac{10}{0.1s + 1}$$

(b) 从图(b)得知系统含有比例、纯微分、惯性环节,

则系统开环传函为: $G(s) = \frac{Ks}{Ts+1}$.

1) 当 $\omega = 10$, 直线斜率为20, 系统有放大和纯微分环节作用,

即 $L(\omega) = 20 \lg K + 20 \lg \omega = 0$, 则 $K = 0.1$.

2) 当 $\omega = 50$, 渐近线斜率为0, 则惯性环节作用, 即 $T = \frac{1}{\omega} = 0.02$.

图(b)系统开环传函为:

$$G(s) = \frac{0.1s}{0.02s + 1}$$

(c) 从图(c)得知系统含有比例、积分、惯性环节，
则系统开环传函为： $G(s) = \frac{K}{s(Ts+1)}$ 。

1) 当 $\omega = 50$ ，直线斜率为-20，系统有放大和积分环节作用，
即 $L(\omega) = 20 \lg K - 20 \lg \omega = 0$ ，则 $K = 50$ 。

2) 当 $\omega = 100$ ，渐近线斜率为-40，则惯性环节作用，即 $T = \frac{1}{\omega} = 0.01$ 。
图(c)系统开环传函为：

$$G(s) = \frac{50}{s(0.01s + 1)}$$

(d) 从图(d)得知系统含有比例、积分、两个惯性环节,

则系统开环传函为: $G(s) = \frac{K}{s(T_1s+1)(T_2s+1)}$.

1) 当 $\omega = 100$, 第一条直线斜率为-20, 系统有放大和积分环节作用,

即 $L(\omega) = 20 \lg K - 20 \lg \omega = 0$, 则 $K = 100$.

2) 当 $\omega_1 = 0.01$, 渐近线斜率为-40, 则一个惯性环节作用,

即 $T_1 = \frac{1}{\omega_1} = 100$.

3) 当 $\omega_2 = 20$, 渐近线斜率为-60, 则另一个惯性环节作用,

即 $T_2 = \frac{1}{\omega_2} = 0.05$.

图(d)系统开环传函为:

$$G(s) = \frac{100}{s(100s+1)(0.05s+1)}$$

(e) 从图(e)得知系统含有放大、二阶振荡环节,

则系统开环传函为: $G(s) = \frac{K}{T^2 s^2 + 2\xi Ts + 1}$.

1) 当 $\omega < 630$, 第一条直线斜率为0, 系统有放大环节作用,

即 $L(\omega) = 20 \lg K = 20$, 则 $K = 10$.

2) 当 $\omega > 630$, 渐近线斜率为-40, 则振荡环节作用, 即 $T = \frac{1}{\omega} = \frac{1}{630}$.

3) 当 $\omega = 630$, 计算其渐近线幅频值, 即 $L(\omega) = 20 \lg 10 = 20$, 则修正后的幅频值为: $L(\omega) = 20 + 3 = 23 \text{dB}$.

由修正后的幅频特性曲线方程得:

$$L(\omega) = 20 \lg 10 - 20 \lg \sqrt{\left(1 - \frac{\omega^2}{630^2}\right)^2 + \left(\frac{2\xi\omega}{630}\right)^2}$$

代入 $\omega = 630$, 上述表达式满足 $L(\omega) = 23$, 则求得 $\xi = 0.35$.

图(e)系统开环传函为:

$$G(s) = \frac{10}{\frac{s^2}{630^2} + \frac{0.7s}{630} + 1}$$

(f) 从图(f)得知系统含有放大、积分、二阶振荡环节构成，
则系统开环传函为： $G(s) = \frac{K}{s(T^2s^2 + 2\xi Ts + 1)}$ 。

1) 当 $\omega < 45.3$ ，第一条直线斜率为-20，低频段渐近线方程为：
 $L(\omega) = 20 \lg K - 20 \lg \omega$ ，当 $\omega = 100$ 时，延长线与横轴相交，即
有 $L(\omega) = 20 \lg K - 20 \lg 100 = 0$ ，则 $K = 100$ 。

2) 当 $\omega > 45.3$ ，渐近线斜率为-60，则增加一个振荡环节作用，
即 $T = \frac{1}{\omega} = \frac{1}{45.3}$ 。

3) 当 $\omega = 45.3$ ，计算其渐近线幅频值，
即 $L(\omega) = 20 \lg 100 - 20 \lg 45.3 = 6.878$ ，则修正后的幅频值为：
 $L(\omega) = 6.878 + 4.85 = 11.728$ 。

由修正后的幅频特性曲线方程得：

$$L(\omega) = 20 \lg 100 - 20 \lg \omega - 20 \lg \sqrt{\left(1 - \frac{\omega^2}{45.3^2}\right)^2 + \left(\frac{2\xi\omega}{45.3}\right)^2}$$

代入 $\omega = 45.3$ ，上述表达式满足 $L(\omega) = 11.728$ ，则求得 $\xi = 0.286$ 。

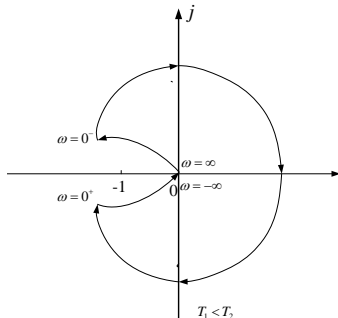
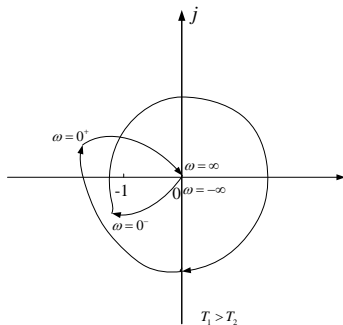
图(f)系统开环传函为：

$$G(s) = \frac{100}{s\left(\frac{s^2}{45.3^2} + \frac{0.572s}{45.3} + 1\right)}$$

第五章 5-8

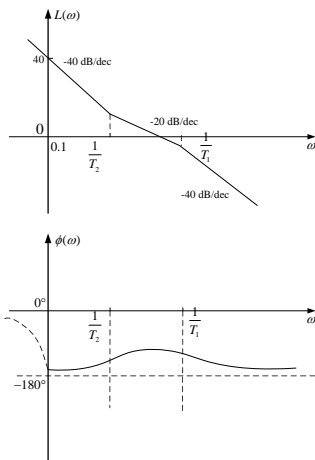
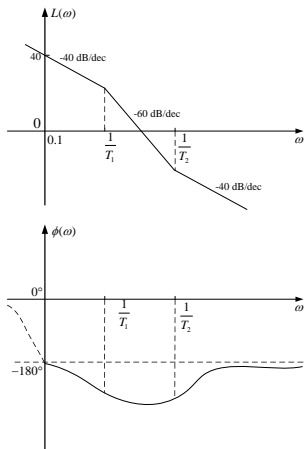
已知开环传函: $G(s)H(s) = \frac{T_2 s + 1}{s^2(T_1 s + 1)}$,

(1) 幅相特性图如下:



由开环传函得知该系统开环稳定, 即 $P = 0$ 。当 $T_1 > T_2$, 其幅相特性图顺时针方向包围 $(-1, j0)$ 点两周, 该系统闭环不稳定。而当 $T_1 < T_2$, 幅相特性图不包围 $(-1, j0)$ 点, 闭环稳定。

第五章 5-8续

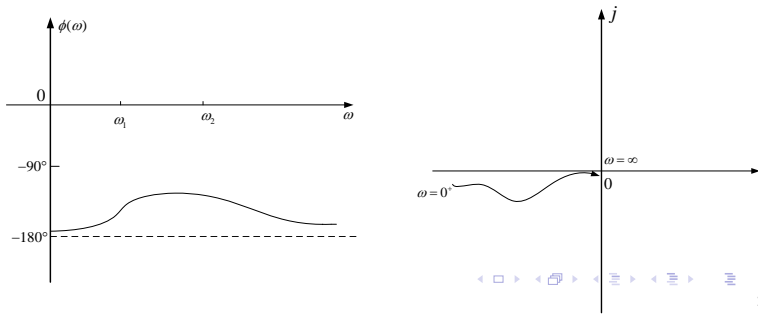


由开环传函得知该系统开环稳定, 即 $P = 0$ 。当 $T_1 > T_2$, 其对数频率特性图穿越 -180° 的正负穿越次数之差 $N = 0 - 1 = -1$, 则 $N \neq \frac{P}{2}$, 该系统闭环不稳定。而当 $T_1 < T_2$, 其对数频率特性图穿越 -180° 的正负穿越次数之差 $N = 0 - 0 = 0$, 则 $N = \frac{P}{2}$, 闭环稳定。

(a) 首先求取图a系统的开环传递函数，低频段渐近线斜率为-40，则系统有比例和两个积分环节，在 ω_1 处，加入一个一阶微分环节，斜率变为-20，在 ω_2 处，增加一个惯性环节，斜率变为-40，则系统的开环传函为：

$$G(s) = \frac{K(\frac{1}{\omega_1}s + 1)}{s^2(\frac{1}{\omega_2}s + 1)}$$

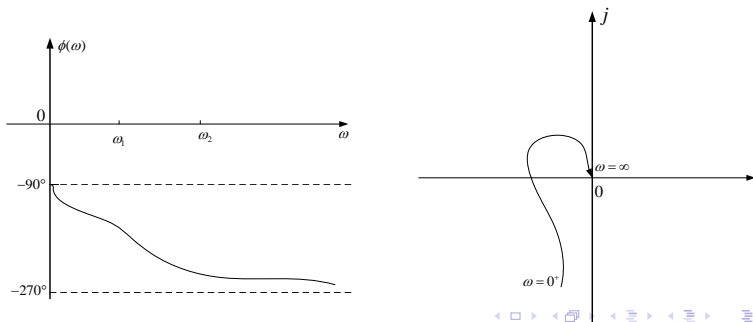
则对数的相频特性曲线与幅相频率特性曲线如下图所示：



(b) 首先求取图b系统的开环传递函数，低频段渐近线斜率为-20，则系统有比例和一个积分环节，在 ω_1 处，加入一个惯性环节，斜率变为-40，在 ω_2 处，增加一个惯性环节，斜率变为-60，系统开环传函为：

$$G(s) = \frac{K}{s(\frac{1}{\omega_1}s + 1)(\frac{1}{\omega_2}s + 1)}$$

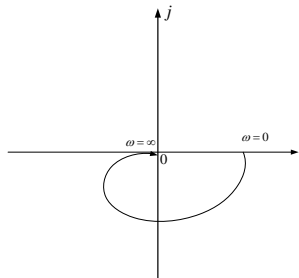
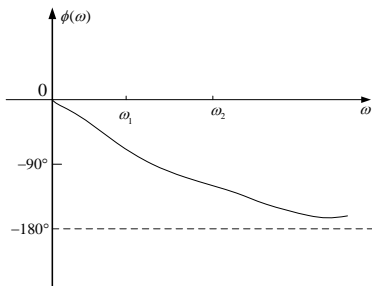
则对数的相频特性曲线与幅相频率特性曲线如下图所示：



(c) 首先求取图a系统的开环传递函数，低频段渐近线斜率为0，则系统有比例环节，在 ω_1 处，加一个惯性环节，斜率变为-20，在 ω_2 处，增加一个惯性环节，斜率变为-40，系统开环传函为：

$$G(s) = \frac{K}{(\frac{1}{\omega_1}s + 1)(\frac{1}{\omega_2}s + 1)}$$

则对数的相频特性曲线与幅相频率特性曲线如下图所示：



第五章 5-10

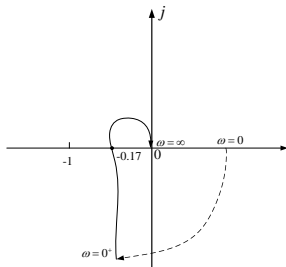
已知开环传函: $G(s)H(s) = \frac{250}{s(s+5)(s+15)} = \frac{3.33}{s(\frac{1}{5}s+1)(\frac{1}{15}s+1)}$, 则其频率特性为:

$$G(j\omega)H(j\omega) = \frac{3.33[-(\frac{1}{5} + \frac{1}{15})\omega + j(-1 + \frac{\omega^2}{75})]}{\omega \cdot (\frac{\omega^2}{25} + 1) \cdot (\frac{\omega^2}{225} + 1)}$$

$$|G(j\omega)H(j\omega)| = \frac{250}{\omega \cdot \sqrt{\frac{\omega^2}{25} + 1} \cdot \sqrt{\frac{\omega^2}{225} + 1}}$$

$$\phi(\omega) = \angle G(j\omega)H(j\omega) = -90^\circ - \arctan \frac{\omega}{5} - \arctan \frac{\omega}{15}$$

(1) 根据相频特性得知, $\phi(\omega): -90^\circ \sim -270^\circ$. 求与实轴的交点, 则令频率特性的虚部为0, 即 $\text{Im}[G(j\omega)H(j\omega)] = 0$, 则求出交界频率 $\omega_x = 8.67$, 则此时的实频特性 $\text{Re}[G(j\omega)H(j\omega)] = -0.17$, 则系统的奈奎斯特图如下:



第五章 5-10续

已知开环传函: $G(s)H(s) = \frac{250}{s(s+5)(s+15)}$.

(2) 解出系统的开环极点: $p_1 = 0$, $p_2 = -5$, $p_3 = -15$, 则系统无开环正实部的极点, 开环稳定, 即 $P = 0$. 根据奈氏稳定判据, 该系统的奈奎斯特图不包围 $(-1, j0)$ 点, 则系统闭环稳定。

(3) 计算截止频率 ω_c :

最低频段转折频率 $\omega = 5$, 因为 $K = 3.33$, 在低频段时系统会穿越 0dB 线, 则 $\omega_c = 3.33$. 相角裕量计算如下:

$$\gamma = 180^\circ + \phi(\omega_c) = 180^\circ - 90^\circ - \arctan \frac{\omega_c}{5} - \arctan \frac{\omega_c}{15} = 43.8^\circ$$

(4) 计算相位交界频率 ω_g :

$$\angle G(j\omega_g)H(j\omega_g) = -90^\circ - \arctan \frac{\omega_g}{5} - \arctan \frac{\omega_g}{15} = -180^\circ \Rightarrow \omega_g = 8.67$$

增益裕量计算如下:

$$20 \lg |G(j\omega_g)H(j\omega_g)| = 20 \lg 3.33 - 20 \lg \omega_g - 20 \lg \sqrt{1 + \frac{\omega_g^2}{25}} - 20 \lg \sqrt{1 + \frac{\omega_g^2}{225}} = -15.65$$

$$h = 15.65$$

(1) 已知开环传函: $G(s) = \frac{10}{s(0.5s+1)(0.1s+1)}$, 系统由比例、积分、两个惯性环节构成。

1) 确定各转折频率及对应斜率为:

$$\omega_1 = 2, -20\text{dB/dec};$$

$$\omega_2 = 10, -20\text{dB/dec}$$

2) 绘制最低频段($\omega < 2$)渐近线, 系统有比例、积分环节, 则渐近线斜率-20 dB/dec, 渐近线方程为: $L(\omega) = 20 \lg 10 - 20 \lg \omega$

$$\text{当 } \omega = 1, L(\omega) = 20\text{dB}.$$

$$\text{当 } \omega = 2, L(\omega) = 14\text{dB}.$$

3) $2 \leq \omega < 10$, 增加一个惯性环节, 渐近线斜率为-40 dB/dec, 则渐近线方程为: $L(\omega) = 20 \lg 10 - 20 \lg \omega - 20 \lg 0.5\omega$.

$$\text{当 } \omega = 10, L(\omega) = -14\text{dB}.$$

4) $\omega \geq 10$, 增加一个惯性环节, 渐近线斜率为-60 dB/dec, 则渐近线方程为: $L(\omega) = 20 \lg 10 - 20 \lg \omega - 20 \lg 0.5\omega - 20 \lg 0.1\omega$.

系统在 $2 \leq \omega < 10$ 频段穿越0dB线, 则截止频率 ω_c 计算如下:

$$L(\omega) = 20 \lg 10 - 20 \lg \omega_c - 20 \lg 0.5\omega_c = 0 \Rightarrow \omega_c = 4.5\text{rad/s}.$$

相频特性曲线表达式:

$$\phi(\omega) = -90^\circ - \arctan 0.5\omega - \arctan 0.1\omega$$

相角裕量计算如下:

$$\gamma = 180^\circ + \phi(\omega_c) = 180^\circ - 90^\circ - \arctan 0.5\omega_c - \arctan 0.1\omega_c = 0^\circ$$

计算相位交接频率 ω_g :

$$\phi(j\omega_g) = -90^\circ - \arctan 0.5\omega_g - \arctan 0.1\omega_g = -180^\circ$$

$$\Rightarrow \arctan 0.5\omega_g + \arctan 0.1\omega_g = 90^\circ$$

$$\Rightarrow \frac{0.5\omega_g + 0.1\omega_g}{1 - 0.5\omega_g \times 0.1\omega_g} = \infty$$

$$\Rightarrow \omega_g = 4.5$$

增益裕量计算如下:

$$20 \lg |G(j\omega_g)H(j\omega_g)| = 20 \lg 10 - 20 \lg \omega_g - 20 \lg 0.5\omega_g - 20 \lg 0.1\omega_g = 7dB$$

$$h = -7dB$$

第五章 5-11-1续

5-11-1的波德图如下:

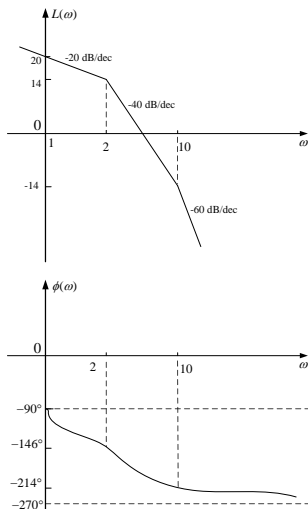


Figure: 5-11-1

(2) 已知开环传函:

$$G(s) = \frac{2083(s+3)}{s(s^2+20s+625)} = \frac{10(\frac{1}{3}+1)}{s(\frac{1}{625}s^2 + \frac{20}{625}s + 1)}$$

系统由比例、积分、一阶微分环节、振荡环节构成。

1) 确定各转折频率及对应斜率为:

$\omega_1 = 3, 20\text{dB/dec}; \omega_2 = 25, -40\text{dB/dec}.$

2) 绘制最低频段($\omega < 3$)渐近线, 系统有比例、积分环节, 则渐近线斜率-20 dB/dec, 渐近线方程为: $L(\omega) = 20 \lg 10 - 20 \lg \omega$

当 $\omega = 1, L(\omega) = 20\text{dB}.$

当 $\omega = 3, L(\omega) = 10.5\text{dB}.$

3) $3 \leq \omega < 25$, 增加一个一阶微分环节, 渐近线斜率为0 dB/dec, 则渐近线方程为: $L(\omega) = 10.5\text{dB}.$

4) $\omega \geq 25$, 增加一个振荡环节, 渐近线斜率为-40 dB/dec, 则渐近线方程为:

$L(\omega) = 20 \lg 10 - 20 \lg \omega + 20 \lg \frac{1}{3}\omega - 40 \lg \frac{1}{25}\omega.$

系统在 $\omega \geq 25$ 频段穿越0dB线, 则截止频率 ω_c 计算如下:

$L(\omega) = 20 \lg 10 - 20 \lg \omega_c + 20 \lg \frac{1}{3}\omega_c - 40 \lg \frac{1}{25}\omega_c = 0 \Rightarrow \omega_c = 45.6\text{rad/s}.$

相频特性曲线表达式: $\phi(\omega) = -90^\circ + \arctan \frac{1}{3}\omega + \angle G_1(j\omega)H(j\omega).$

$$\angle G_1(j\omega)H(j\omega) = \begin{cases} -\arctan \frac{20\omega}{625-\omega^2} & \omega \leq 25 \\ -180^\circ - \arctan \frac{20\omega}{625-\omega^2} & \omega > 25 \end{cases}$$

相角裕量计算如下:

$$\gamma = 180^\circ + \phi(\omega_c) = 180^\circ - 90^\circ + \arctan \frac{1}{3}\omega_c - 180^\circ - \arctan \frac{20\omega_c}{625 - \omega_c^2} = 28.3^\circ$$

当 $\omega: 0 \rightarrow +\infty$ 变化时, 该系统的相频范围为: $-90^\circ \rightarrow -180^\circ$, 则系统不会穿越负实轴, 无相位交接频率 ω_g 及增益裕量。

第五章 5-11-2续

5-11-2的波德图如下:

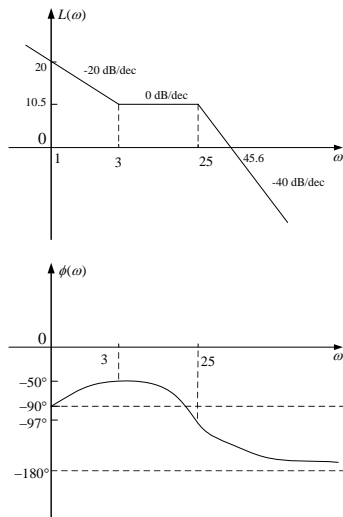


Figure: 5-11-2

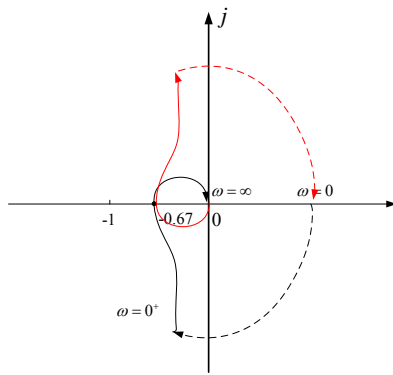
第五章 5-12-1

(1) 已知开环传函: $G(s) = \frac{1}{s(s+1)(2s+1)}$,

开环传递函数频率特性为:

$$G(j\omega)H(j\omega) = \frac{1}{j\omega(j\omega + 1)(j2\omega + 1)} = \frac{1}{j(\omega - 2\omega^3) - 2\omega^2}$$

虚轴交点: $\omega - 2\omega^3 = 0$, 得 $\omega = \frac{\sqrt{2}}{2}$, $G(j\omega)H(j\omega)|_{\omega=\frac{\sqrt{2}}{2}} = -\frac{2}{3}$



系统有三个开环极点,
 $p_1 = 0$, $p_2 = -1$,
 $p_3 = -0.5$, 无位于 $[s]$ 右半
平面的开环极点,
即 $P = 0$. 幅相特性曲线不
包围 $(-1, j0)$ 点, 则系统
闭环稳定。

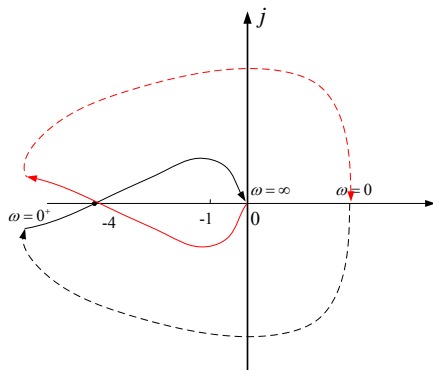
第五章 5-12-2

(2) 已知开环传函: $G(s) = \frac{4s+1}{s^2(s+1)(2s+1)}$,

开环传递函数频率特性为:

$$G(j\omega)H(j\omega) = \frac{4j\omega + 1}{(j\omega)^2\omega(j\omega + 1)(j2\omega + 1)} = \frac{1 + 16\omega^2}{j\omega^3(1 - 8\omega^2) - (10\omega^4 + \omega^2)}$$

虚轴交点: $1 - 8\omega^2 = 0$, 得 $\omega = \frac{\sqrt{2}}{4}$, $G(j\omega)H(j\omega)|_{\omega=\frac{\sqrt{2}}{4}} = -4$

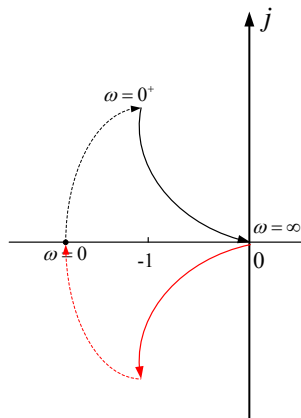


系统有四个开环极点,
 $p_1 = p_2 = 0$, $p_3 = -1$,
 $p_4 = -0.5$, 无位于[s]右半平面的
开环极点, 即 $P = 0$. 幅相特性
曲线顺时针包
围 $(-1, j0)$ 点 2 圈, $N = 2$, 则系
统闭环不稳定。

(3) 已知开环传函: $G(s) = \frac{K}{s(Ts-1)}$,

开环传递函数频率特性为:

$$G(j\omega)H(j\omega) = \frac{K}{j\omega(jT\omega - 1)} = \frac{K}{-T\omega^2 - j\omega}$$



系统开环极点 $p_1 = 0$, $p_2 = \frac{1}{T}$, 则有一个位于 s 右半平面的开环极点, 即 $P = 1$. 幅相特性曲线顺时针包围 $(-1, j0)$ 点 1 圈, $N = 1$, 则系统闭环不稳定。

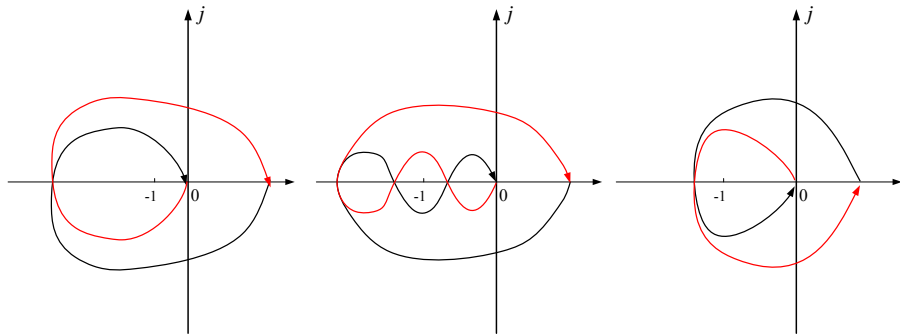


Figure: 5-14-a

(a) 图(a)所示的幅相特性曲线的增补曲线如下图所示:

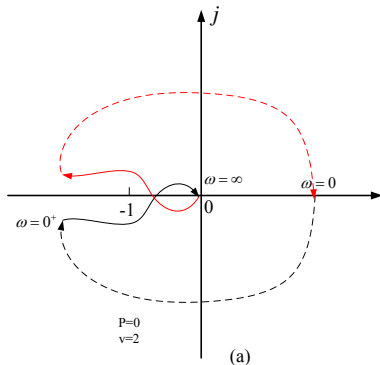


Figure: 5-14-a

根据奈氏判据, $(-1, j0)$ 点左侧曲线穿越负实轴正负穿越次数之差 $N = 0 - 0 = 0$, 因为 $P = 0$, $N = \frac{P}{2}$, 则该系统闭环稳定。(或者说 $P = 0$, 系统开环稳定, 幅相特性曲线不包围 $(-1, j0)$ 点, 则系统闭环也稳定).

(b) 图(b)所示的幅相特性曲线的增补曲线如下图所示:

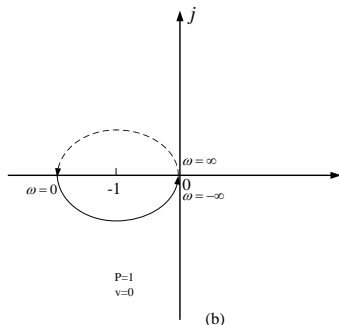


Figure: 5-14-b

根据奈氏判据, 在整个频段内 $(-1, j0)$ 点左侧曲线穿越负实轴正负穿越次数之差 $N = 1 - 0 = 0$, 因为 $P = 1$, $N = P$, 则该系统闭环稳定。(或者说幅相特性曲线在整个频段逆时针包围 $(-1, j0)$ 点1周, 则系统闭环也稳定).

(c) 图(c)所示的幅相特性曲线的增补曲线如下图所示:

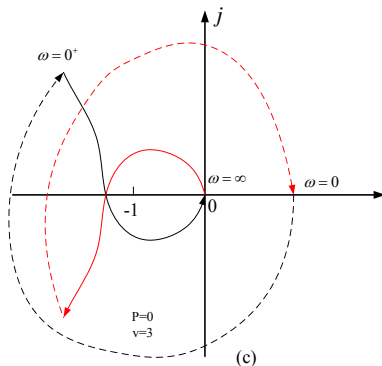


Figure: 5-14-c

根据奈氏判据, 在正频段内 $(-1, j0)$ 点左侧曲线穿越负实轴正负穿越次数之差 $N = 1 - 1 = 0$, 因为 $P = 0$, $N = \frac{P}{2}$, 则该系统闭环稳定。(或者说幅相特性曲线在正频段内不包围 $(-1, j0)$ 点, 则系统闭环稳定).

(d) 图(d)所示的幅相特性曲线的增补曲线如下图所示:

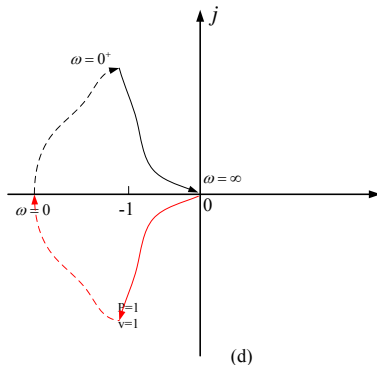


Figure: 5-14-d

根据奈氏判据, 在正频段内 $(-1, j0)$ 点左侧曲线穿越负实轴正负穿越次数之差 $N = 0 - 1 = -1$, 因为 $P = 1$, $N \neq \frac{P}{2}$, 则该系统闭环不稳定。(或者说幅相特性曲线在整个频段顺时针包围 $(-1, j0)$ 点1周, 则系统闭环不稳定).

(e) 图(e)所示的幅相特性曲线的增补曲线如下图所示:

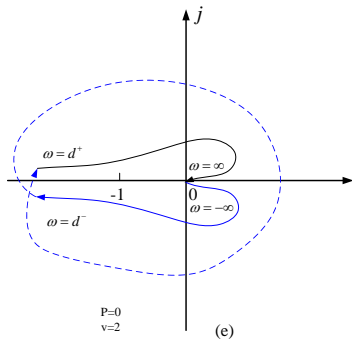


Figure: 5-14-e

根据奈氏判据, 在整个频段内 $(-1, j0)$ 点左侧曲线穿越负实轴正负穿越次数之差 $N = 0 - 2 = -2$, 因为 $P = 0$, $N \neq P$, 则该系统闭环不稳定。(或者说幅相特性曲线在整个频段顺时针包围 $(-1, j0)$ 点2周, 则系统闭环不稳定).

(f) 图(f)所示的幅相特性曲线的增补曲线如下图所示:

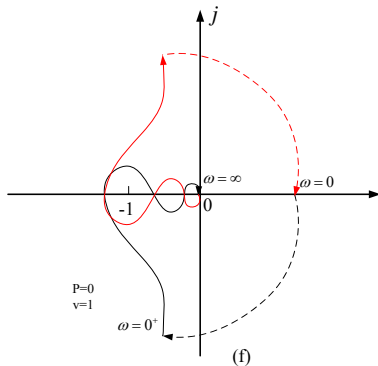


Figure: 5-14-f

根据奈氏判据, 在整个频段内 $(-1, j0)$ 点左侧曲线穿越负实轴正负穿越次数之差 $N = 0 - 1 = -1$, 因为 $P = 0$, $N \neq \frac{P}{2}$, 则该系统闭环不稳定。(或者说幅相特性曲线在整个频段顺时针包围 $(-1, j0)$ 点2周, 则系统闭环不稳定).

已知开环传递函数: $G(s) = \frac{K}{s(s^2+s+1)}$, 则频率特性为:

$$G(j\omega) = \frac{K}{j\omega(1 - \omega^2 + j\omega)}$$

(1) 先计算相位交界频率 ω_g :

$$\phi(\omega_g) = -90^\circ - \arctan \frac{\omega_g}{1 - \omega_g^2} = -180^\circ \Rightarrow \omega_g = 1$$

因为 $h = 20$, $h = 20 \lg \frac{1}{|G(j\omega_g)|}$, 则 $|G(j\omega_g)| = 0.1$.

$$\Rightarrow \frac{K}{\omega_g \cdot \sqrt{(1 - \omega_g^2)^2 + \omega_g^2}} \Rightarrow K = 0.1$$

(2) 计算截止频率 ω_c :

因为 $K = 0.1$, 则 $\omega_c = 0.1$. 相角裕度计算如下:

$$\gamma = 180^\circ + \phi(\omega_c) = 180^\circ - 90^\circ - \arctan \frac{\omega_c}{1 - \omega_c^2} = 84^\circ$$

(1) 由开环频率特性表得知: $\omega_c = 8$, 则相角裕量为:

$$\gamma = 180^\circ + \phi(\omega_c) = 180^\circ - 170^\circ = 10^\circ$$

由开环频率特性表得知: $\omega_g = 10$, $|G(j\omega_g)| = 0.64$, 则 $\frac{1}{|G(j\omega_g)|} = 1.5625$, 增益裕量为:

$$h = 3.88 \text{ dB}$$

(2) $h = 20\text{dB}$, $h = 20 \lg \frac{1}{|G(j\omega_g)|}$, 则 $|G(j\omega_g)| = 0.1$ 。
所需的增益 K 的变化为:

$$\frac{0.1}{0.64} = 0.156$$

故增益 K 变为原来的0.156倍.

已知开环传递函数:

$$G(s)H(s) = \frac{K}{(s+1)(2s+1)(3s+1)}$$

先计算相位交接频率 ω_g :

$$\phi(\omega_g) = -\arctan \omega_g - \arctan 2\omega_g - \arctan 3\omega_g = -180^\circ$$

$$\Rightarrow 180^\circ - \arctan 3\omega_g = \arctan \omega_g + \arctan 2\omega_g$$

$$\Rightarrow \tan(180^\circ - \arctan 3\omega_g) = \frac{\omega_g + 2\omega_g}{1 - \omega_g \cdot 2\omega_g}$$

$$\Rightarrow -3\omega_g = \frac{3\omega_g}{1 - 2\omega_g^2} \Rightarrow \omega_g = 1$$

已知 $h = 20\text{dB}$, 则 $|G(j\omega_g)H(j\omega_g)| = 0.1$. 则有:

$$\frac{K}{\sqrt{1 + \omega_g^2} \cdot \sqrt{1 + 4\omega_g^2} \cdot \sqrt{1 + 9\omega_g^2}} = 0.1 \Rightarrow K = 1$$

已知开环传递函数:

$$G(s) = \frac{as + 1}{s^2}$$

(1) 相角裕量为:

$$\gamma = 180^\circ + \phi(\omega_c) = 45^\circ \Rightarrow 180^\circ + \arctan a\omega_c - 180^\circ = 45^\circ$$

$$\Rightarrow \arctan a\omega_c = 45^\circ \Rightarrow a\omega_c = 1$$

(2) 根据截止频率的定义得:

$$|G(j\omega_c)| = \frac{\sqrt{a^2\omega_c^2 + 1}}{\omega_c^2} = 1$$

$$\Rightarrow a^2\omega_c^2 + 1 = \omega_c^2$$

综合上式得: $\omega_c = \sqrt{2} = 1.414$, $a = 0.707$.

已知系统开环传函: $G(s) = \frac{Ke^{-\tau s}}{s}$, 则频率特性为:

$$|G(j\omega)| = \frac{K}{\omega}$$

$$\angle G(j\omega) = -90^\circ - 2\omega \cdot 57.3^\circ$$

延迟环节的幅相曲线为单位圆, 当系统存在延迟环节, 延迟环节对系统开环频率特性的影响是造成了相频特性明显变化。系统的开环幅相图为螺旋线, 且为顺时针。设 ω_x 为开环幅相曲线穿越负实轴的频率, 则有:

$$\angle G(j\omega_x) = -90^\circ - 2\omega_x \cdot 57.3^\circ = -(2k+1)\pi \quad k=0, 1, 2, \dots$$

鉴于穿越频率 ω_x 幅频特性有:

$$|G(j\omega_x)| = \frac{K}{\omega_x}$$

当 $\omega_x \uparrow$, $|G(j\omega_x)| \downarrow$, 在频率为最小的 ω_x 时, 幅相曲线第一次穿越负实轴, 则有:

$$\angle G(j\omega_x) = -90^\circ - 2\omega_x \cdot 57.3^\circ = -180^\circ \Rightarrow \omega_x = 0.78$$

当 $|G(j\omega_x)| = \frac{K}{\omega_x} = 1$ 时, 系统闭环临界稳定, 则 K 的最大值为0.78。

(1) 从对数幅频特性图先计算系统的开环传函, $G(s) = \frac{K}{(T_1s+1)(T_2s+1)}$

1) 当 $\omega < \omega_1$, 第一条直线斜率为0, 系统有比例环节作用,

即 $L(\omega) = 20 \lg K = 20$, 则 $K = 10$.

2) 当 $\omega_1 < \omega < 10$, 渐近线斜率为-20, 则一个惯性环节作用,

即 $T_1 = \frac{1}{\omega_1}$.

且有 $L(\omega) = 20 \lg K - 20 \lg T_1 \omega$, 当 $\omega = 1$ 时, $L(\omega) = 0 \Rightarrow T_1 = 10$.

3) 当 $\omega > 10$, 渐近线斜率为-40, 则另一个惯性环节作用,

即 $T_2 = \frac{1}{10} = 0.1$.

则系统的开环传函为: $G(s) = \frac{10}{(0.1s+1)(10s+1)}$.

当输入信号为单位阶跃输入时, 即 $r(t) = 1(t)$, 则求位置误差系数:

$$K_p = \lim_{s \rightarrow 0} G(s) = 10$$

$$e_{ss}(\infty) = \frac{1}{1 + K_p} = 0.091$$

(2) 单位反馈系统的闭环传函:

$$\Phi(s) = \frac{G(s)}{1 + G(s)} = \frac{10}{s^2 + 10.1s + 11}$$

(1) 从对数幅频特性图得:

$$G(j\omega) = \frac{K(1 + j\frac{\omega}{0.2})}{j\omega(j\frac{\omega}{0.1} + 1)(j\frac{\omega}{4} + 1)}$$

$$\Rightarrow G(s) = \frac{K(1 + 5s)}{s(10s + 1)(0.25s + 1)}$$

当 $\omega = 1$, 渐近线穿越0dB线, 即有幅频渐近线方程:

$$L(\omega) = 20 \lg K - 20 \lg \omega - 20 \lg 10\omega + 20 \lg 5\omega = 0 \Rightarrow K = 2$$

. 则系统的开环传函为:

$$G(s) = \frac{2(5s + 1)}{s(10s + 1)(0.25s + 1)}$$

(2) 由于系统是最小相位系统, 因而可通过计算相位裕量 γ 来判断系统的稳定性. 从图可知 $\omega_c = 1$, 在 ω_c 处, 系统的相位裕量为:

$$\gamma = 180^\circ + \phi(\omega_c) = 180^\circ - 90^\circ + \arctan 5 - \arctan 10 - \arctan 0.25 = 70.4^\circ > 0^\circ$$

则系统闭环稳定.

(3) 当输入信号为单位斜坡信号时, 即 $r(t) = t$, 则求速度误差系数:

$$K_v = \lim_{s \rightarrow 0} sG(s) = 2$$

系统的稳态误差:

$$e_{ss}(\infty) = \frac{1}{K_v} = 0.5$$

(4) 当幅频特性向右平移时, 开环增益 K 增大, 系统的增益交界频率 ω_c 增大, 相位裕量 γ 减小, 从而减小稳态误差, 系统快速性提高。

已知系统的开环传函为: $G(s) = \frac{K}{s(s+0.2)}$, 则单位反馈系统的闭环传函:

$$\Phi(s) = \frac{G(s)}{1 + G(s)} = \frac{K}{s^2 + 0.2s + K} = \frac{\omega_n^2}{s^2 + 2\xi\omega_n s + \omega_n^2}$$

则 $2\xi\omega_n = 0.2$, $K = \omega_n^2$.

又已知 $M_r = 1.5$, 则有:

$$M_r = \frac{1}{2\xi\sqrt{1-\xi^2}} = 1.5 \Rightarrow \xi = 0.36$$

则代入上式得: $\omega_n = 0.28$, $K = 0.078$.

根据增益交界频率的定义得:

$$|G(j\omega_c)| = \frac{K}{\omega_c \sqrt{\omega_c^2 + 0.04}} = 1 \Rightarrow \omega_c = 0.25$$

$$\gamma = 180^\circ - 90^\circ - \arctan 5\omega_c = 38.6^\circ$$

从闭环幅频特性图得知: $M_r = 1.4$, $\omega_r = 10$, $\omega_b = 40$.

又有:

$$M_r = \frac{1}{2\xi\sqrt{1-\xi^2}} = 1.4 \Rightarrow \xi = 0.4$$

则超调量为:

$$\sigma\% = e^{\frac{-\xi\pi}{\sqrt{1-\xi^2}}} \times 100\% = 25.5\%$$

$$\omega_r = \omega_n \sqrt{1-2\xi^2} = 10 \Rightarrow \omega_n = 12$$

$$\omega_c = \omega_n \sqrt{\sqrt{4\xi^2+1}-2\xi^2} = 11.8$$

$$\gamma = \arctan \frac{2\xi}{\sqrt{\sqrt{1+4\xi^2}-2\xi^2}} = 39.2^\circ$$

$$\omega_c t_s = \frac{6}{\tan \gamma} \Rightarrow t_s = 0.62s$$

系统的开环传递函数为: $G(s) = G_1(s)G_2(s) = \frac{48(s+1)}{s(8s+1)(\frac{1}{20}s+1)}$

$$\gamma = 180^\circ - 90^\circ + \arctan \omega_c - \arctan 8\omega_c - \arctan \frac{1}{20}\omega_c$$

利用其开环频率特性, 得知对数频率幅频特性曲线在 $1 < \omega_c < 20$ 频段穿越 $0dB$ 线, 求取其剪切频率 $\omega_c = 6$. 代入上式, 得相角裕量为:

$$\gamma = 65^\circ.$$

对于高阶系统, 利用开环频域指标与时域指标的近似估算公式, 得:

$$\sigma\% = 0.16 + 0.4\left(\frac{1}{\sin \gamma} - 1\right) = 20\%$$

$$K_0 = 2 + 1.5\left(\frac{1}{\sin \gamma} - 1\right) + 2.5\left(\frac{1}{\sin \gamma} - 1\right)^2 = 2.175$$

$$t_s = \frac{K_0\pi}{\omega_c} = 1.14 \text{ s}$$